

Письма в ЖТФ, том 17, вып. 2

26 января 1991 г.

07; 12

© 1991

ОБНАРУЖЕНИЕ В МОДИФИЦИРОВАННОМ РЕШЕТЧАТОМ РЕЗОНАТОРЕ МОДЫ С РАВНОМЕРНЫМ АМПЛИТУДНЫМ РАСПРЕДЕЛЕНИЕМ НА ОДНОМ ИЗ ЗЕРКАЛ

В.А. Епишин, В.А. Маслов,
И.М. Милитинский

Квантовые генераторы с решетчатыми резонаторами (РР) находят разнообразное применение [1-8]. В них обеспечивается более полное взаимодействие активной среды с излучением. Для этого осуществляется селекция высшей поперечной моды, характерной для Фабри-Перо резонатора (ФПР) [1-4], или формирование не характерной для него периодической моды путем использования эффекта Тальбота [5, 6]. В иных случаях решетчатое зеркало служит многоштевевым излучателем [7, 8] и выполнено так, что возмущение им колебаний ФПР состоит только в увеличении их потерь энергии. Общей чертой решетчатых резонаторов является существенно неоднородное амплитудное распределение (АР) выходного пучка. Для многих применений, например, в физике твердого тела, технологии, медицине, такое распределение крайне нежелательно. Поэтому создание однородного АР является предметом актуальных исследований и для его достижения не останавливаются перед довольно сложными решениями [9-11].

В данной работе при модификации РР без усложнения возможности его изготовления обнаружена мода с равномерным АР. Ее существование предсказано благодаря применению идей теории фурье-оптики при преобразованиях системы интегральных уравнений для конфокального ФПР с неоднородными зеркалами и подтверждено результатами решения упомянутых уравнений на ЭВМ.

Рассмотрим двухзеркальный софокусный резонатор, пронумеровав отражатели $n = 1, 2$ и введя координаты апертур $S_n = x_n, y_n$. Пред-

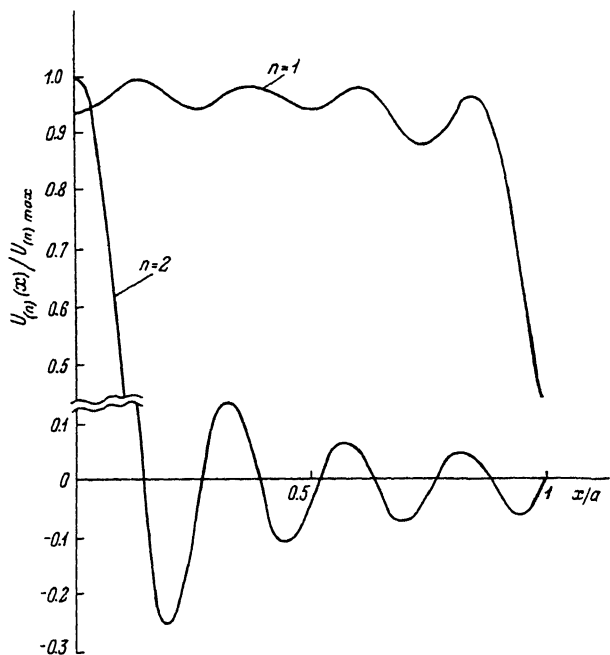


Рис. 1. Амплитудные распределения низшей моды на решетчатом ($n=2$) и однородном зеркалах резонатора из бесконечных лент шириной $2a$.

ставим кривизну поверхностей рефлекторов функциями фазовой коррекции и опишем в скалярном приближении физической теории дифракции распространение между ними поперечной электромагнитной волны [12]. Тогда задача исследования мод может быть сведена к системе двух интегральных уравнений относительно функций распределения комплексной амплитуды одной из компонент поля, пусть E_y , упомянутой волны при падении ее на поверхности отражателей:

$$\alpha_{(n)} \mathcal{U}_{(n)}(S_n) = \frac{1}{i \lambda L} F \left\{ R_m(S_m) \mathcal{U}_m(S_m) \right\}, \quad (1)$$

где λ – длина волны; L – расстояние между зеркалами; F – символ преобразования Фурье [13] функции в фигурных скобках с пространственными частотами $\frac{x_n}{\lambda L}, \frac{y_n}{\lambda L}$; $m=3-n$; $R_m(S_m)$ – положительный коэффициент отражения m -го рефлектора для E_y , учитывающий также конечность его размеров. Постоянные $\alpha_{(n)}$ симметризуют уравнения. Физический смысл имеет их произведение, модуль и аргумент которого равны коэффициенту уменьшения амплитуды и дополнительному к геометрооптическому набегу фазы обра-

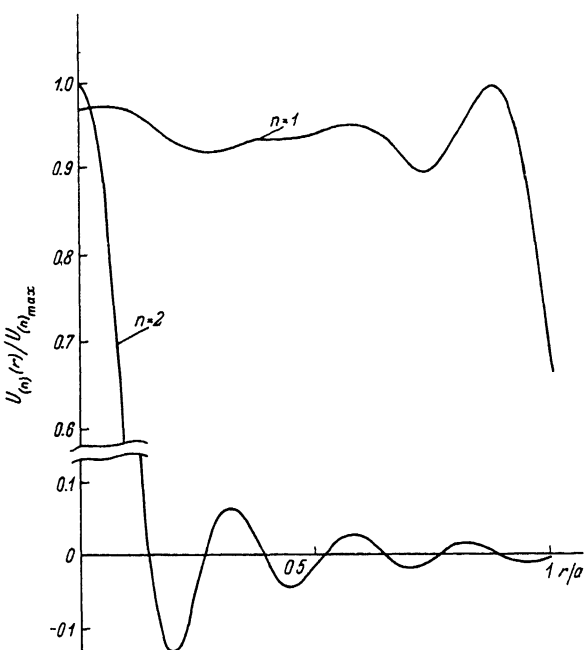


Рис. 2. То же, что и на рис. 1 для резонатора из дисков радиуса α

зующей моду электромагнитной волны за время кругового обхода резонатора.

Учитывая вид Фурье-образа равномерной функции [13] и селективные свойства неоднородного отражателя РР [1-4], сформулируем условия существования моды с равномерным АР, для определенности на первом зеркале в области $G - \mathcal{U}_{(1)}(S_1) = \begin{cases} 1, S_1 \in G \\ 0, S_1 \notin G \end{cases}$. Тогда из (1) следует, что первое зеркало должно быть однородно отражающим, его апертура должна включать область G , решетчатый рефлектор выполняется с диссипативными участками в координатах, соответствующих нулевым значениям функции $F\{\mathcal{U}_{(1)}(S_1)\}$, и однородным отражением на остальной части апертуры.

Проведена проверка предложенной идеи для РР с рефлекторами в виде бесконечных полос, являющихся теоретической моделью резонаторов с прямоугольными зеркалами [12], и имеющих наибольшее прикладное значение [14] резонансных структур с осесимметричными круглыми рефлекторами. В первом случае синтезируется мода

$$\mathcal{U}_{(1)}(x_1) = \text{rect}\left(\frac{x_1}{2a}\right), \quad \mathcal{U}_{(2)}(x_2) = \text{sinc}\left(\frac{2x_2 a}{\lambda L}\right), \quad (2)$$

$$\mathcal{U}_{(1)}(r_1) = \text{circ}\left(\frac{r_1}{a}\right), \quad \mathcal{U}_{(2)}(r_2) = \frac{J_1(\rho)}{\rho}, \quad (3)$$

где r – цилиндрическая координата, $\rho = 2\pi \frac{r_2 a}{\lambda L}$, J_1 – функция Бесселя первого рода первого порядка. Диссипативные участки решетчатого зеркала полагались полностью поглощающими. Остальная его часть и вся поверхность однородного рефлектора – идеально отражающими. Интегральные уравнения решались на ЭВМ методом, предложенным в [15]. Находились собственные функции и собственные значения четырех низших мод по два четно- и нечетно-симметричных. Исследовались зависимости АР и потеря энергии типов колебаний от числа Френеля, количества и размеров поглощающих участков решетчатого зеркала. На рисунках приведены иллюстрирующие искомое амплитудные распределения низшей моды резонатора с числом Френеля, равным 4, шириной поглощающих участков 0. Оба и апертурами в виде полос, рис. 1, и дисков, рис. 2. Нормированная абсолютная средняя мера различия [16] между прямоугольной функцией в (2) и $\mathcal{U}_{(1)}(x)$ на рис. 1 равна 6 %. Аналогично для круговой функции в (3) и $\mathcal{U}_{(2)}(r)$ на рис. 2 – 7 %. Функции $\mathcal{U}_{(1)}(x)$ и $\mathcal{U}_{(2)}(r)$ от соответствующих выражений в (2) и (3) отличаются много меньше.

Потери энергии за время одного усредненного прохода волны между отражателями для моды на рис. 1 равны 2.6 %, а на рис. 2 – 7.8 %. Потери для трех следующих по добротности мод (одной четно- и двух нечетно-симметричных) 47.4 %, 41.5 %, 56.1 % и 36.8 % 37 %, 39 % соответственно. Т.е. имеется высокая степень селекции, обеспечивающая при лазерной генерации одномодовый режим.

Таким образом, как при прямоугольной, так и при круговой формах сечения решетчатого резонатора обнаружена возможность существования одномодового режима лазерной генерации с пучком излучения, обеспечивающим равномерное амплитудное распределение пятна поля на выходе из лазера или в фокальной плоскости фокусирующего этот пучок элемента.

Список литературы

- [1] Ригрод В.В. Патент США № 3404349, заявл. 28.04.64, опубл. 1.10.68.
- [2] Басов Н.Г., Беленов Э.М., Летоков В.С. // ДАН СССР. 1965. Т. 161. № 3. С. 556–559.
- [3] Kawakami S., Nishida S. // IEEE Trans. 1971. MTT-19. N4. P. 403–405.
- [4] Епинин В.А., Баскаков О.И. Тр. У Всесоюз. симп. по дифракции и распространению волн. М.: Наука, 1971. С. 91–102.

- [5] А в д у е в с к и й В.С., Б а б а е в Ю.Н., Д е н и -
с о в Ю.Н. и др. // ДАН СССР. 1986. Т. 286. № 5.
С. 1116-1119.
- [6] А н т ю х о в В.В., Г л о в а А.Ф., К а ч у р и н О.Р.//
Письма в ЖЭТФ. 1986. Т. 44. В. 2. С. 63-65.
- [7] Y a m a s h i t a E., M i t r a R., I t o h T. /
Electr. lett. 1969. V. 5. N 4. P. 67-68.
- [8] А н а н ъ е в Ю.А., Г р и ш м а н о в а Н.И., С в е н -
ц и ц к а я Н.А. // ЖТФ. 1973. Т. 43. № 8. С. 1530-
1536.
- [9] Е п и ш и н В.А., М а с л о в В.А., Р я б ы х В.Н.
и др. // Письма в ЖТФ. 1988. Т. 14. В. 24. С. 2237-
2242.
- [10] М а т и з е н Ю.Э., Т р о и ц к и й Ю.В. // Квантовая
электроника. 1989. Т. 16. № 12. С. 2475-2481.
- [11] W e l d k a m p W.B. // Appl. Opt. 1982. V. 21.
N 17. P. 3209-3212.
- [12] К а ц е н е л е н б а у м Б.З. Высокочастотная электро-
динамика. М.: Наука, 1966. 240 с.
- [13] Применение методов фурье-оптики. Под ред. Г. Старка. М.:
Мир, 1988. 536 с.
- [14] К а р л о в Н.В. Лекции по квантовой электронике. М.: Нау-
ка, 1988. 336 с.
- [15] Б а с с а к о в О.И., Е п и ш и н В.А. Тр. У1 Всесоюз.
с имп. по дифракции и распространению волн. Москва-Ереван.
Наука, 1973. С. 256-260.
- [16] Х е р м е н Г. Восстановление изображений по проекциям.
М.: Мир, 1983. 349 с.

Харьковский
государственный
университет

Поступило в Редакцию
2 октября 1990 г.

Письма в ЖТФ, том 17, вып. 2

26 января 1991 г.

07

© 1991

НЕЛИНЕЙНЫЕ СВОЙСТВА МЕЛКОСЛОЙСТОЙ СРЕДЫ

Р.З. В и т л и н а, Л.И. М а г а р и л л

Исследование электромагнитных свойств сред, состоящих из че-
редующихся слоев, сделанных из однородных (изотопных или анизо-
тропных) материалов, посвящено значительное число работ (см.,
например, [1-3]). В этих работах рассматривались в основном
эффективные диэлектрические характеристики такой системы, введение